

ОБЪЕДИНЕННЫЙ  
ИНСТИТУТ  
ЯДЕРНЫХ  
ИССЛЕДОВАНИЙ  
ДУБНА

1579 / 2-80

7/4-80  
P4 - 13036

С.И.Виницкий, В.С.Мележик, Л.И.Пономарев,  
И.В.Пузынин, Т.П.Пузынина, Л.Н.Сомов,  
Н.Ф.Трускова

ВЫЧИСЛЕНИЕ УРОВней ЭНЕРГИИ  
 $\mu$ -МЕЗОМОЛЕКУЛ ИЗОТОПОВ ВОДОРОДА  
В АДИАБАТИЧЕСКОМ ПРЕДСТАВЛЕНИИ  
ЗАДАЧИ ТРЕХ ТЕЛ

*Направлено в ЖЭТФ*

1980

## I. Введение

Недавно в Лаборатории ядерных проблем ОИИИ выполнен эксперимент<sup>/1/</sup> по измерению скорости  $\lambda_{dtm}$  образования мезомолекул  $dtm$  и получена нижняя оценка:  $\lambda_{dtm} > 10^8 \text{ с}^{-1}$ .

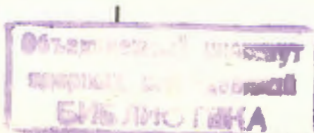
Согласно теоретическим расчетам<sup>/2/</sup> большая скорость этого процесса обусловлена резонансным механизмом образования мезомолекул  $dtm$  в слабосвязанном вращательно-колебательном состоянии с квантовыми числами  $J = I$ ,  $\pi = I$ . Энергия связи этого состояния —  $E_{J\pi} \approx 1 \text{ эВ}$  была впервые вычислена в работе по теории возмущений, реализованной в адабатическом представлении задачи трех тел<sup>/3-7/</sup>.

Для детального изучения  $m$ -мезомолекулярных процессов в смеси изотопов водорода и, в частности, для описания процесса резонансного образования мезомолекул  $dtm$  необходимо знать их уровни энергии с точностью  $\sim 0,01 \text{ эВ}$ , что составляет  $\sim 10^{-6}$  мезоатомных единиц энергии  $E_m = 2 m_m k_B = 5626,52 \text{ эВ}$ <sup>/2/</sup>.

В данной работе представлены результаты вычислений энергий  $E_{J\pi}$  различных состояний ( $J\pi$ )  $m$ -мезомолекул изотопов водорода. Вычисления выполнены в адабатическом представлении задачи трех тел, в котором волновая функция  $m$ -мезомолекулы разлагается по полному набору решений задачи двух центров квантовой механики<sup>/3-5/</sup>. В этом подходе исходная задача на собственные значения для нерелятивистского уравнения Шредингера в шестимерном пространстве сводится к решению задачи Штурма-Лиувилля для системы обыкновенных интегродифференциальных уравнений. Матрицы коэффициентов этой системы (эффективные потенциалы задачи трех тел в адабатическом представлении) вычислены с необходимой точностью с помощью алгоритмов<sup>/10-15/</sup>.

Соответствующая задача Штурма-Лиувилля решена численно с требуемой относительной точностью в рамках непрерывного анализа метода Ньютона<sup>/16,17/</sup> с помощью алгоритмов<sup>/18-20/</sup>, реализованных в виде комплекса программ на языке FORTRAN-4. Все вычисления выполнены на ЭВМ СДС-6500.

В наших предыдущих работах указанные задачи Штурма-Лиувилля решены в двухуровневом приближении<sup>/6/</sup>, а также по



теории возмущений<sup>7/</sup>. Результаты этих вычислений, а также результаты наилучших вариационных расчетов<sup>8,9/</sup> сравниваются со значениями  $E_{J\mu}$ , полученными в данной работе.

## 2. Постановка задачи

Волновые функции  $\Psi_{n\tau}(\vec{r}, \vec{R})$  и полные энергии  $E_{n\tau}$  различных состояний  $|n\tau\rangle$   $\mu^-$ -мезомолекул изотопов водорода находятся из нерелятивистского уравнения Шредингера в шестимерном пространстве  $(\vec{r}, \vec{R})$ <sup>14/</sup>

$$(\hat{H} - E_{n\tau}) \Psi_{n\tau}(\vec{r}, \vec{R}) = 0, \quad (1)$$

где (в единицах  $e = \hbar = I$ )

$$\hat{H} = \hat{T}_a + \hat{h}_a + \frac{1}{R}, \quad (2)$$

$$\hat{T}_a = -\frac{1}{2M_a} \left[ (\nabla_{\vec{R}} + \frac{\vec{x}}{2} \nabla_{\vec{P}})^2 - \left(\frac{1+x}{2}\right)^2 \Delta_{\vec{P}} \right],$$

$$\hat{h}_a = -\frac{1}{2m_a} \Delta_{\vec{P}} - \frac{1}{r_a} - \frac{1}{r_b}, \quad (3)$$

$$\frac{1}{M_a} = \frac{1}{M_a} + \frac{1}{M_b}, \quad \frac{1}{m_a} = \frac{1}{m_a} + \frac{1}{M_b}, \quad x = \frac{M_b - M_a}{M_b + M_a}.$$

Здесь  $R$  — вектор, соединяющий ядра мезомолекулы  $a$  и  $b$  с массами  $M_a$  и  $M_b$  (в дальнейшем  $M_a \geq M_b$ );  $\vec{P}$  — вектор, соединяющий середину отрезка  $R$  и  $\mu^-$ -мезон с массой  $m_\mu$ ;  $r_a$  и  $r_b$  — расстояния от ядер  $a$  и  $b$  до  $\mu^-$ -мезона.

Движение  $\mu^-$ -мезона в мезомолекуле характеризуется тремя параболическими квантовыми числами  $n \equiv [n_1 n_2 m]$ , а относительное движение ядер  $a$  и  $b$  — набором квантовых чисел  $\tau = (J m_J \lambda)$ , где  $J$  и  $m_J$  — полный орбитальный момент системы трех тел и его проекция на ось  $\vec{z}$  лабораторной системы координат соответственно,  $\nu$  — вибрационное квантовое число, а  $\lambda = \pm (-)^3$  — полная четность системы трех тел.

Наибольший интерес представляют уровни энергии мезомолекул, соответствующие основному состоянию движения  $\mu^-$ -мезона, т.е. состоянию с квантовыми числами  $n = [000]$ . Поскольку в отсутствие магнитных полей энергия  $\mu^-$ -мезомолекул не зависит от

квантового числа  $m_J$ , мы в дальнейшем будем его опускать. Таким образом, для состояний с  $n = [000]$  и заданной полной четностью  $\lambda$  волновая функция зависит лишь от квантовых чисел  $J$  и  $\nu$ :

$$\Psi_{n\tau}(\vec{r}, \vec{R}) \equiv \langle \vec{r}, \vec{R} | n\tau \rangle = \langle \vec{r}, \vec{R} | J\nu \rangle = \Psi_{J\nu}(\vec{r}, \vec{R}). \quad (4)$$

Эти волновые функции удовлетворяют соотношению ортогональности:

$$\langle J\nu | J'\nu' \rangle = \int d\vec{r} d\vec{R} \Psi_{J\nu}^*(\vec{r}, \vec{R}) \Psi_{J'\nu'}(\vec{r}, \vec{R}) = \delta_{JJ'} \delta_{\nu\nu'}. \quad (5)$$

Адиабатический базис, по которому разлагается волновая функция  $\langle \vec{r}, \vec{R} | J\nu \rangle$  состояния  $(J\nu)$  мезомолекулы, определяется как полный набор решений задачи двух центров квантовой механики<sup>5/</sup>, т.е. задачи о движении  $\mu^-$ -мезона в кулоновском поле двух фиксированных ядер,  $a$  и  $b$ , удаленных на расстояние  $R$  друг от друга:

$$\hat{h} \phi_j(\vec{r}; R) = E_j(R) \phi_j(\vec{r}; R), \quad (6a)$$

$$\phi_j(\vec{r}; R) \equiv \langle \vec{r}; R | j \rangle = \langle \vec{r}; R | n_1 n_2 m P \rangle,$$

$$\hat{h} \phi_c(\vec{r}; R) = \frac{k^2}{2} \phi_c(\vec{r}; R), \quad (6b)$$

$$\phi_c(\vec{r}; R) \equiv \langle \vec{r}; R | c \rangle = \langle \vec{r}; R | k n_2 m P \rangle,$$

где

$$\hat{h} = -\frac{1}{2} \Delta_{\vec{P}} - \frac{1}{r_a} - \frac{1}{r_b} =$$

Гамильтониан задачи двух центров,  $E_j(R)$  — терм, соответствующий состоянию  $|j\rangle$  дискретного спектра этой задачи, а  $k$ -импульс  $\mu^-$ -мезона, соответствующий состоянию  $|c\rangle$  непрерывного спектра этой задачи.

Состояния  $|j\rangle \equiv |jP\rangle$  дискретного спектра нумеруются набором  $j = [n_1 n_2 m]$  параболических квантовых чисел  $n_1, n_2, m$  и четностью  $P = (g, u)$  по отношению к инверсии  $\vec{r} \rightarrow -\vec{r}$  относительно начала координат. В сфероидальных координатах  $\vec{r} = \{\xi, \eta, \varphi\}$ ,  $\xi = \frac{r_a + r_b}{R}$ ,  $\eta = \frac{r_a - r_b}{R}$ ,

решения  $\phi_j(\vec{r}; R)$ , ограниченные в области  $1 \leq \xi < \infty$ ,  $-1 \leq z \leq 1$ ,  $0 \leq \varphi \leq 2\pi$ ,  $0 \leq R < \infty$ , можно представить в виде

$$\phi_j(\vec{r}; R) = \phi_{jp}(\vec{r}; R) = \phi_{jp}(\xi, z, \varphi; R) = \psi_{jp}(\xi, z; R) \frac{1}{\sqrt{2\pi}} \begin{cases} (-)^m e^{im\varphi}, \\ e^{-im\varphi} \end{cases} \quad (7a)$$

Они удовлетворяют соотношению ортогональности:

$$\langle j\rho | j'p' \rangle = \int d\vec{r} \phi_{jp}^*(\vec{r}; R) \phi_{j'p'}(\vec{r}; R) = \delta_{pp'} \delta_{mm'} \delta_{n_1 n_2'} \delta_{n_2 n_1'}, \quad (7b)$$

$$d\vec{r} = \frac{R^3}{8} (\xi^2 - z^2) d\xi dz d\varphi.$$

Состояния  $|c\rangle \equiv |ksp\rangle$  непрерывного спектра задачи двух центров характеризуются импульсом  $k$   $\mu$ -мезона, набором  $s = [n_2 m]$  параболических квантовых чисел  $n_2$  и  $m$  и четностью  $p$ . Соответствующие решения, ограниченные в области  $1 \leq \xi < \infty$ ,  $-1 \leq z \leq 1$ ,  $0 \leq \varphi \leq 2\pi$ ,  $0 \leq R < \infty$ ,

$$\phi_c(\vec{r}; R) = \phi_{sp}(\vec{r}; k, R) = \phi_{sp}(\xi, z, \varphi; k, R) = \psi_{sp}(\xi, z; k, R) \frac{1}{\sqrt{2\pi}} \begin{cases} (-)^m e^{im\varphi}, \\ e^{-im\varphi} \end{cases} \quad (8a)$$

удовлетворяют соотношению ортогональности:

$$\langle c | c' \rangle = \int d\vec{r} \phi_c(\vec{r}; R) \phi_{c'}(\vec{r}; R) = \delta_{pp'} \delta_{mm'} \delta_{n_2 n_2'} \delta(k - k'). \quad (8b)$$

Зависимость волновой функции  $\Psi_{Jv}(\vec{r}, R)$  от угловых переменных  $\Theta$  и  $\Phi$  вектора  $R = \{R, \Theta, \Phi\}$  в лабораторной системе координат, а также от азимутального угла  $\varphi$  вектора  $\vec{r} = \{\xi, z, \varphi\}$  в системе координат, вращающейся вместе с вектором  $\vec{R}$ , отделяется с помощью симметризованной комбинации нормированных  $D$ -функций Бигнера:

$$\mathcal{D}_{mm_J}^J(\Phi, \Theta, \varphi) = \left( \frac{1 + \delta_{0m}}{4\pi} \right)^{1/2} \left[ (-)^m e^{im\varphi} D_{mm_J}^J(\Phi, \Theta, 0) + e^{-im\varphi} D_{mm_J}^J(\Phi, \Theta, 0) \right],$$

которые соответствуют полной четности  $\lambda = +(-)^J / 4$ .  $(9)$

Используя решения  $(7b)$ ,  $(8b)$  и функции  $(9)$ , волновую функцию  $(4)$  можно представить в виде разложения:

$$\Psi_{nt}(\vec{r}, R) = \sum_{m=0}^J \mathcal{D}_{mm_J}^J(\Phi, \Theta, \varphi) R^{-1} F_m^{Jv}(\xi, z, R), \quad (10a)$$

$$F_m^{Jv}(\xi, z, R) = \sum_{p=g,u} \sum_{n_2=0}^{\infty} \left\{ \sum_{n_3=0}^{\infty} \psi_{jp}(\xi, z; R) \chi_{jp}^{Jv}(R) + \sum_{k=0}^{\infty} \int dk \psi_{sp}(\xi, z; k, R) \chi_{sp}^{Jv}(k, R) \right\}. \quad (10b)$$

Регулярные при  $R=0$  и ограниченные на полуоси  $0 \leq R < \infty$  функции

$$\chi_{jp}^{Jv}(R) \equiv \langle R; jp | Jv \rangle = \langle R; n_1 n_2 m p | Jv \rangle,$$

$$\chi_{sp}^{Jv}(k, R) \equiv \langle R; ks p | Jv \rangle = \langle R; k n_2 m p | Jv \rangle \quad (II)$$

представляют относительное радиальное движение ядер  $a$  и  $b$  в  $\mu$ -мезомолекуле и удовлетворяют соотношению ортогональности, которое следует из  $(5)$ ,  $(7b)$  и  $(8b)$ :

$$\sum_{p=g,u} \sum_{m=0}^J \sum_{n_2=0}^{\infty} \left\{ \sum_{n_3=0}^{\infty} \int dR \chi_{jp}^{Jv}(R) \chi_{jp}^{Jv'}(R) + \int dk \int dR \chi_{sp}^{Jv}(k, R) \chi_{sp}^{Jv'}(k, R) \right\} = \delta_{vv'} \quad (IIa)$$

При постановке граничных условий, соответствующих правильному пределу диссоциации  $\mu$ -мезомолекулы на мезоатом и ядро  $1/4$ , для волновой функции  $(10a)$  в разложении  $(10b)$  вместо решений

$\psi_{jg}(\xi, z; R)$ ,  $\psi_{ju}(\xi, z; R)$ ,  $\psi_{sg}(\xi, z; k, R)$ ,  $\psi_{su}(\xi, z; k, R)$  обычно используют их линейные комбинации (аргументы опускаем):

$$\psi_{ja} = \frac{1}{\sqrt{2}} (\psi_{jg} - \psi_{ju}),$$

$$\psi_{je} = \frac{1}{\sqrt{2}} (\psi_{jg} + \psi_{ju}) \quad (12a)$$

и аналогичные комбинации для  $\psi_{sa}$  и  $\psi_{se}$ .

Преобразование (IIa) индуцирует преобразование для функций  $\chi_{jg} = \chi_{jg}^{T\sigma}(R)$  и  $\chi_{ju} = \chi_{ju}^{T\sigma}(R)$

$$\chi_{ja} = \frac{1}{\sqrt{2}} (\chi_{jg} - \chi_{ju}), \quad (I26)$$

$$\chi_{je} = \frac{1}{\sqrt{2}} (\chi_{jg} + \chi_{ju}),$$

и такое же преобразование для  $\chi_{sg}^{T\sigma}(k, R)$  и  $\chi_{su}^{T\sigma}(k, R)$ . Поскольку при этом выполняется соотношение

$$\varphi_{jg} \chi_{jg} + \varphi_{ju} \chi_{ju} = \varphi_{ja} \chi_{ja} + \varphi_{je} \chi_{je}, \quad (I3)$$

то разложение (I0б) сохраняет свой вид с изменением смысла индекса  $p$ :

$$p = (g, u) \longrightarrow p = (a, e).$$

Подставляя построенное таким образом разложение для волновой функции  $\Psi_{n\sigma}(R, k)$  в уравнение (I) и усредняя его по переменным  $\Phi, \Theta, \Psi, \xi, \zeta$ , придем к бесконечной системе обыкновенных интегродифференциальных уравнений на полуоси  $0 \leq R < \infty$ :

$$\begin{aligned} \hat{I} \left\{ \frac{d^2}{dR^2} - \frac{\mathcal{J}(\mathcal{J}+1)-2m^2}{R^2} - \frac{2M}{R} + 2M\epsilon_{T\sigma} \right\} \chi_i(R) = \\ = \sum_{j=1}^{\infty} \hat{U}_{ij}(R) \chi_j(R) + \sum_{s=1}^{\infty} \int_0^{\infty} dk \hat{U}_{is}(k, R) \chi_s(k, R), \\ \hat{I} \left\{ \frac{d^2}{dR^2} - \frac{\mathcal{J}(\mathcal{J}+1)-2m^2}{R^2} - \frac{2M}{R} + 2M\epsilon_{T\sigma} \right\} \chi_s(k, R) = \\ = \sum_{i=1}^{\infty} \hat{U}_{si}(k, R) \chi_i(R) + \sum_{s'=1}^{\infty} \int_0^{\infty} dk' \hat{U}_{ss'}(k, k', R) \chi_{s'}(k', R), \end{aligned} \quad (I4)$$

с граничными условиями

$$\chi_i(k, 0) = 0, \quad \lim_{R \rightarrow \infty} \chi_i(R) = 0, \quad i = 1, 2, \dots,$$

$$\chi_s(k, 0) = 0, \quad \lim_{R \rightarrow \infty} \chi_s(k, R) = 0, \quad s = 1, 2, \dots, \quad (I5)$$

Здесь  $M = M_e/m_a$ ,  $\epsilon_{T\sigma} = E_{n\sigma} - E_{sa}$  — энергия состояния  $(T\sigma)$  мезомолекулы, отсчитанная от энергии  $E_{sa}$ .

основного состояния мезоатома ( $m_a M_a$ ), а все величины измениются в единицах  $e = \hbar = m_a = 1$ . Система уравнений (I4) записана в "двуокомпонентной форме":

$$\chi_i(R) = \chi_i^{T\sigma}(R) = \begin{pmatrix} \chi_{ia}(R) \\ \chi_{ie}(R) \end{pmatrix}, \quad \chi_s(k, R) = \chi_s^{T\sigma}(k, R) = \begin{pmatrix} \chi_{sa}(k, R) \\ \chi_{se}(k, R) \end{pmatrix};$$

$$\hat{U}_{ij}(R) = \begin{pmatrix} U_{ia, ja}(R) & U_{ia, ie}(R) \\ U_{ie, ja}(R) & U_{ie, ie}(R) \end{pmatrix}, \quad \hat{I} = \begin{pmatrix} 1 & 0 \\ 0 & 1 \end{pmatrix}, \quad (I6)$$

и аналогично — для матриц  $\hat{U}_{is}(k, R)$ ,  $\hat{U}_{si}(k, R)$  и  $\hat{U}_{ss'}(k, k', R)$ .

Потенциалы  $U_{ip, jp'}(R)$  вычисляются по формулам, которые следуют из преобразований (I2a) и (I2b):

$$U_{ia, ja}(R) = \frac{1}{2} \left\{ (V_{ig, jg} + V_{iu, ju}) - (V_{ig, ju} + V_{iu, jg}) \right\} - 2ME_{sa}\delta_{ij},$$

$$U_{ia, ie}(R) = \frac{1}{2} \left\{ (V_{ig, jg} - V_{iu, ju}) + (V_{ig, ju} - V_{iu, jg}) \right\}, \quad (I7)$$

$$U_{ie, ja}(R) = \frac{1}{2} \left\{ (V_{ig, jg} - V_{iu, ju}) - (V_{ig, ju} - V_{iu, jg}) \right\},$$

$$U_{ie, ie}(R) = \frac{1}{2} \left\{ (V_{ig, jg} + V_{iu, ju}) + (V_{ig, ju} + V_{iu, jg}) \right\} - 2ME_{sa}\delta_{ij}.$$

Потенциалы  $V_{ig, jg} = V_{ig, jg}(R)$  и т. д. выражаются через термы  $E_j(R)$  и метрические элементы  $H_{ij}^{(\pm)}(R)$ ,  $H_{ij}^{(\mp)}(R)$ ,  $Q_{ij}^{(\pm)}(R)$  и  $B_{ij}^{(\pm)}(R)$ , определенные в работах I0-I2, I4, I5, следующим образом:

$$\begin{aligned} V_{ig, jg}(R) = 2M E_{ig}(R) \delta_{ij} + H_{ig, jg}^{(+)}(R) - (1+2\alpha) H_{ig, jg}^{(\mp)}(R) + \\ + B_{ig, jg}^{(\pm)}(R) + \frac{d}{dR} Q_{ig, jg}^{(\pm)}(R) + 2Q_{ig, jg}^{(\pm)}(R) \frac{d}{dR}, \end{aligned} \quad (I8)$$

$$\begin{aligned} V_{ig, ju}(R) = 2\alpha \left\{ H_{ig, ju}^{(+)}(R) + B_{ig, ju}^{(\pm)}(R) + \right. \\ \left. + \frac{d}{dR} Q_{ig, ju}^{(\pm)}(R) + 2Q_{ig, ju}^{(\pm)}(R) \frac{d}{dR} \right\}. \end{aligned} \quad (I9)$$

Аналогичные соотношения справедливы для  $V_{i_u, j_u}(R)$  и  $V_{i_u, j_g}(R)$  с очевидными заменами  $g \leftrightarrow u$  в правой части равенств (18), (19).

Для потенциалов  $V_{i_p, s_p}(k, R)$ , связывающих состояния дискретного  $|i\rangle$  и непрерывного  $|c\rangle$  спектров задачи двух центров, соотношения (18), (19) по-прежнему справедливы.

Потенциалы  $V_{s_p, s'_p}(k, k', R)$ , связывающие состояния  $|c\rangle$  и  $|c'\rangle$  непрерывного спектра задачи двух центров, в общем случае можно представить в виде

$$V_{s_p, s'_p}(k, k', R) = V_{s_p, s'_p}(k, R) \delta(k - k') + v_{s_p, s'_p}(k, k', R). \quad (20)$$

Подобно (18), потенциалы  $V_{s_g, s'_g}(k, R)$  могут быть представлены как

$$\begin{aligned} V_{s_g, s'_g}(k, R) = & 2M \cdot \frac{k^2}{2} \delta_{ss'} + H_{s_g, s'_g}^{(+)}(k, R) - (1+2\alpha) H_{s_g, s'_g}^{(\times)}(k, R) + \\ & + B_{s_g, s'_g}^{(+)}(k, R) + \frac{d}{dR} Q_{s_g, s'_g}^{(+)}(k, R) + 2Q_{s_g, s'_g}^{(+)}(k, R) \frac{d}{dR}. \end{aligned} \quad (21)$$

Выражения для потенциалов  $V_{s_u, s'_u}(k, R)$ ,  $V_{s_g, s'_u}(k, R)$  и  $V_{s_u, s'_g}(k, R)$  строятся аналогично (18) и (19).

Используя асимптотику матричных элементов  $H_{ij}^{(\pm)}(R)$ ,  $H_{ij}^{(\times)}(R)$ ,  $Q_{ij}^{(\pm)}(R)$ ,  $B_{ij}^{(\pm)}(R)$  при  $R \rightarrow \infty$  /21/, найдем, что начало отсчета энергии  $E_{n\tau}$  (в единицах  $e = \hbar = m_a = 1$ ) равно /4/:

$(2M)^{-1} V_{1a, 1a}(\infty) = E_{1g}(\infty) = E_{1a} = -\frac{1}{2}$ ,  
т.е. энергия основного состояния мезомолекулы  $(m_u M_a)$ . При этом  $V_{1a, 1a}(\infty) = 0$ .

Решая сингулярную задачу Штурма-Лиувилля (14), (15) с потенциалами (17)-(21), можно найти уровни энергии  $\varepsilon_{\text{тв}}$  и волновые функции  $\chi_j(R)$  и  $\chi_s(k, R)$  мезомолекул.

### 3. Решение задачи Штурма-Лиувилля для системы обыкновенных интегродифференциальных уравнений

При решении сингулярной задачи Штурма-Лиувилля (14), (15) для бесконечной системы обыкновенных интегродифференциальных уравнений на луче  $0 \leq R < \infty$  аппроксимируем ее регулярной задачей Штурма-Лиувилля для конечной системы уравнений размерности  $N$  на конечном интервале  $0 \leq R \leq R_m$  /22,23/:

$$\hat{I} \left\{ \frac{d^2}{dR^2} - \frac{J(J+1)-2m^2}{R^2} - \frac{2M}{R} + 2M\varepsilon_{\text{тв}} \right\} \chi_i(R) = \sum_{j=1}^{N_i} \hat{U}_{ij}(R) \chi_j(R) + \sum_{s=1}^{N_s} \int_0^{k_m} dk \hat{U}_{is}(k, R) \chi_s(k, R); \quad (22a)$$

$$\hat{I} \left\{ \frac{d^2}{dR^2} - \frac{J(J+1)-2m^2}{R^2} - \frac{2M}{R} + 2M\varepsilon_{\text{тв}} \right\} \chi_s(k, R) = \sum_{i=1}^{N_i} \hat{U}_{si}(k, R) \chi_i(R) + \sum_{s'=1}^{N_s} \int_0^{k_m} dk' \hat{U}_{s's}(k, k', R) \chi_{s'}(k', R),$$

с граничными условиями

$$\chi_i(0) = \chi_i(R_m) = 0, \quad 1 \leq i \leq N_i,$$

$$\chi_s(k, 0) = \chi_s(k, R_m) = 0, \quad 1 \leq s \leq N_s, \quad 0 \leq k \leq k_m. \quad (22b)$$

Численное исследование сходимости разложения (10), проведенное в данной работе, показывает, что для вычисления уровней энергии  $M$ -мезомолекул с точностью  $\sim 0,1$  эВ достаточно положить  $N_i = 13$ ,  $N_s = 6$ ,  $R_m = 60$ ,  $k_m = 10$ . При этом интервал  $0 \leq k \leq k_m$  для каждого состояния  $|ks\rangle$  разбивается на  $N_k^{(s)}$  узловыми точками  $k_\alpha$  ( $\alpha = 1, 2, \dots, N_k^{(s)}$ ) с шагом  $\Delta k_\alpha$  и все интегралы по  $k$  заменяются суммами вида

$$\int_0^{k_m} f(k) dk = \sum_{\alpha=1}^{N_k^{(s)}} f(k_\alpha) \varphi(k_\alpha) \Delta k_\alpha, \quad (23)$$

где  $\varphi(k_\alpha) \Delta k_\alpha$  — веса квадратурной формулы Симпсона. При такой дискретизации непрерывного спектра общее число уравнений в системе (22) равно  $N = 2(N_i + N_s)$ , где  $N_c = \sum_{s=1}^{N_s} N_k^{(s)}$ .

В данной работе  $N_c = 119$ , т.е. общее число уравнений в системе (22) равно  $N = 264$ .

Потенциалы  $V_{ij}(R)$ , связывающие состояния  $|i\rangle = |n_1 n_2 m\rangle$  и  $|j\rangle = |n_1' n_2' m\rangle$  дискретного спектра задачи двух центров для всех наборов квантовых чисел, удовлетворяющих условию

$n = n_1 + n_2 + m + 1 \leq 3$ ,  $n' = n_1' + n_2' + m' + 1 \leq 3$ , а также потенциалы  $V_{1j}(R)$ ,  $V_{jj'}(R)$ , связывающие  $(g, u)$ -пару состояний  $|1\rangle = |1000\rangle$  с тремяарами состояний

$|1\rangle = |300\rangle$ ,  $|210\rangle$ ,  $|120\rangle$  из оболочки  $n = 4$ , вычислены с помощью алгоритмов /10, 11/ на интервале изменения

$R = 0,1(0,1)20(1)100$  с относительной точностью  $\sim 10^{-7}$ . Общее число использованных потенциалов  $V_{ij}(R)$  равно 436.

Потенциалы  $V_{1s}(k, R)$ , связывающие пару основных состояний задачи двух центров  $|1000g\rangle$  и  $|1000u\rangle$  с парами  $|ksg\rangle$  и  $|ksu\rangle$  состояний непрерывного спектра, вычислены с абсолютной точностью  $\sim 10^{-5}$  на интервале изменения

$R = 0,1(0,1)5(0,2)10(0,5)20/13, 14/$ . Для состояний

$s = [n_1 m] = [00]$  потенциалы рассчитаны при значениях  $k = 0,2(0,1)1(1)10$  ( $N_k^{(s)} = 18$ ), для состояний  $[10]$ ,  $[20]$ ,  $[01]$  и  $[11]$  — при  $k = 0,2(0,1)1(0,2)2(1)10$  ( $N_k^{(s)} = 22$ ), для состояния  $[30]$  — при  $k = 0,2(0,2)2(1)5$  ( $N_k^{(s)} = 13$ ). Общее число использованных потенциалов  $V_{1s}(k, R)$  и  $V_{s1}(k, R)$  равно 476.

Диагональные метрические элементы  $V_{sg, sg}(k, R)$ ,  $V_{sg, su}(k, R)$  и т.д., связывающие пары состояний  $|c\rangle = |kn_2 mg\rangle$  и  $|c'\rangle = |kn_2 m u\rangle$  непрерывного спектра задачи двух центров, вычислены в работе /15/ с абсолютной точностью  $\sim 10^{-5}$ , для наборов  $n_2 = 0,1,2,3$  и  $m = 0,1$  при значениях

$k = 0,2(0,1)1(0,2)2(1)10$  в интервале изменения

$R = 0,1(0,1)5(0,2)10(0,5)20$ .

Общий вид матрицы потенциалов  $\hat{U}(R)$ , рассчитанной в настоящее время, представлен на рис. I.

Для численного решения задачи Штурма-Лиувилля (22) были использованы алгоритмы /18-20/, построенные на основе непрерывного аналога метода Ньютона /16/ и его модификаций /17/.

Вычисления искомых значений  $\varepsilon_{\text{тв}}$ ,  $X_i(R)$ ,  $X_s(k, R)$  проводились с помощью программ ITER /19/ и BAAP /20/. При этом начальные приближения для  $\varepsilon_{\text{тв}}$  и  $X_i(R)$  вычис-

Таблица I

Энергия связи —  $\varepsilon_{\text{тв}}$  (эВ) состояний (тв) мезомолекул  $PP/\mu$ ,  $Pd/\mu$ ,  $Pt/\mu$

$PP/\mu$	$Pd/\mu$			$Pt/\mu$			Метод	Двухуровневое приближение
	(00)	(10)	(00)	(00)	(10)	(тв)		
247,31	101,47	215,68	91,35	207,28	92,21			
253,55	107,33	221,49	98,79	213,85	101,30			
252,89	106,95	221,52	97,36	213,96	99,06			
252,95	106,96	221,52	97,40	213,97	99,01			
253,09 <sup>a)</sup>	107,23 <sup>b)</sup>	221,28 <sup>a)</sup>	—	213,0 <sup>b)</sup>	—			

a) Carter B.P., Phys. Rev., 165, p. 139, 1968.

b) Halpern A., Phys. Rev. Lett., 13, p. 660, 1964.

b) Carter B.P., Phys. Rev., 141, p. 863, 1966.

лялись по программе SYSTEM /18/, которая позволяет решать частичную задачу Штурма-Лиувилля для системы  $\sim 40$  обыкновенных дифференциальных уравнений. Начальные приближения для функций  $X_s(k, R)$  выбирались равными нулю.

Программа ITER позволяет решать частичную задачу Штурма-Лиувилля (22), (23) для системы обыкновенных дифференциальных уравнений размерности  $\sim 300$  для матрицы потенциалов, изображенной на рис. I.

Программа ВААР построена на основе программы ITER для решения задачи (22), (23) с матрицей потенциалов специального вида: в ней присутствуют только потенциалы

$$U_{sj}(R), U_{j1}(R), U_{ss}(k, R), U_{s1}(k, R), U_{jj}(R) \text{ и } U_{ss}(k, R)$$

(на рис. I эта матрица выделена пунктиром). Это позволяет скратить время вычислений на порядок по сравнению с временем вычислений по программе ITER.

При выбранном способе разбиения интервала  $0 \leq R \leq R_m$  узловыми точками  $R_i$ , в которых заданы потенциалы  $\hat{U}_{ij}(R)$ ,  $\hat{U}_{ss}(k, R)$  и  $\hat{U}_{s1}(k, R)$ , а также при выбранных значениях  $N_i, N_s, N_k, R_m$  относительная точность решения задачи Штурма-Лиувилля (22) с помощью алгоритмов ITER и ВААР составляет  $10^{-4}$ - $10^{-5}$ .

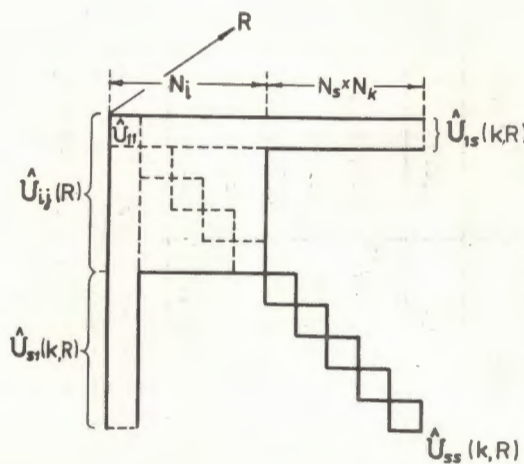


Рис. I

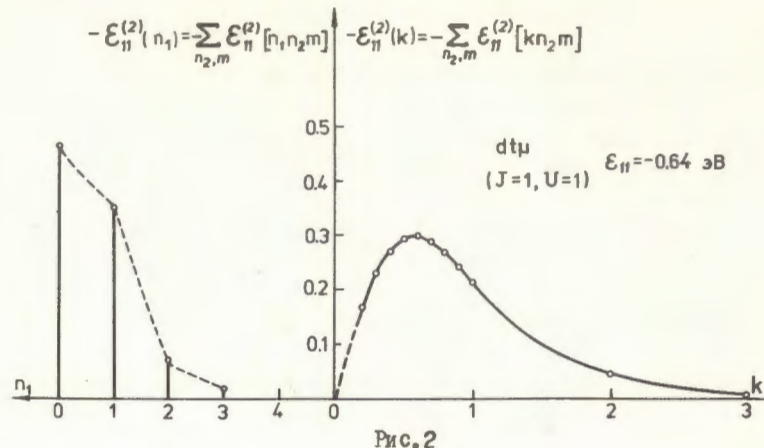


Рис. 2

#### 4. Обсуждение результатов

Результаты вычислений представлены в таблицах I-9. В первой строке таблиц I-3 приведены значения  $\epsilon_{J\nu}^{(o)} = \epsilon_{J\nu}^{(e)}$ , вычисленные в двухуровневом приближении ( $N_c=1, N_s=0$ ) адабатического метода /4-7/ с помощью алгоритма SYSTEM. В этом приближении матрица потенциалов  $\hat{U}(R)$  состоит только из одного блока  $\hat{U}_{11}(R)$  (см. рис. I), точность вычисления энергии  $\epsilon_{J\nu}^{(o)}$  для глубоких уровней составляет I-5 эВ, а значение  $\epsilon_{J\nu}^{(o)}(dtmu) = -0,64$  эВ. Стационарное состояние ( $J=1, \nu=1$ ) мезомолекулы  $dtmu$  в этом приближении отсутствует, а вместо него появляется квазистационарное состояние с энергией  $\epsilon_{J\nu}^{(o)}(dtmu) = +0,47$  эВ и шириной  $\sim 0,2$  эВ. При расширении системы уравнений (22) этот квазистационарный уровень движется к границе континуума, и при  $N_c=4, N_s=0$  квазистационарное состояние становится стационарным. В вариационных расчетах /8,9/ стационарное состояние ( $J=1, \nu=1$ ) молекулы  $dtmu$  не обнаружено.

Во второй строке таблиц I-3 приведены значения  $\epsilon_{J\nu}^{(2)} = \bar{\epsilon}_{J\nu}^{(2)} + \epsilon_{cont}^{(2)}$ , вычисленные по теории возмущений согласно алгоритму работы /3/, причем вклад дискретного спектра  $\bar{\epsilon}_{J\nu}^{(2)} = \epsilon_{J\nu}^{(e)} + \epsilon_{discr}^{(2)}$  вычислялся по программе SYSTEM при  $N_c=13, N_s=0$ , а функции  $X_{sa}$  и  $X_{sb}$ , найденные при решении этой системы, использованы для вычисления вклада  $\epsilon_{cont}^{(2)}$  (см. (25)).

Таблица 2

Энергия связи —  $\varepsilon_{Jv}$  (эВ) состояний ( $Jv$ ) мезомолекул  
 $ddm$  и  $dtm$

$(Jv)$	(00)	(01)	(10)	(II)	(20)	Метод
$ddm$	322,69	33,14	224,08	0,64	83,56	Двухуровневое приближение
	324,99	35,66	226,74	1,83	85,34	Теория возмущений
	325,05	35,81	226,61	1,39	86,31	ITER x)
	325,04	35,80	226,61	1,91 <sup>xx)</sup>	86,32	BAAP
	324,27 <sup>a)</sup>	32,76 <sup>a)</sup>	226,55 <sup>b)</sup>	-	-	Вариационный расчет
$dtm$	317,04	32,21	230,10	-0,47	99,90	Двухуровневое приближение
	319,09	34,70	232,61	0,63	103,16	Теория возмущений
	319,15	34,87	232,43	0,17	102,52	ITER x)
	319,15	34,87	232,44	0,64 <sup>xx)</sup>	102,54	BAAP
	318,07 <sup>a)</sup>	32,95 <sup>a)</sup>	-	-	-	Вариационный расчет

x) Вычисления по программе ITER выполнены при  $R_m = 20$ .

xx) Значения, полученные по программе BAAP при  $R_m = 60$ . При  $R_m = 20 - \varepsilon_{11}(ddm) = 1,39$  эВ и  $-\varepsilon_{11}(dtm) = 0,17$  эВ, т.е. полностью совпадают с результатами, полученными по программе ITER.

a) Carter B.P., Phys. Rev., 165, 139, 1968.

b) Halpern A., Phys. Rev. Lett., 13, p. 660, 1964.

Третья строка содержит результаты вычислений  $\varepsilon_{Jv}$  по программе ITER с целиком заполненной матрицей потенциалов  $\hat{U}(R)$ , вид которой представлен на рис. I.

Четвертая строка содержит результаты вычислений по программе BAAP.

Во всех перечисленных случаях использованы лишь диагональные матричные элементы (20), связывающие состояния  $|ks\rangle$  непрерывного спектра, т.е. потенциалы в уравнениях (22) имеют вид  $\hat{U}_{ss'}(k, k', R) = \hat{U}_{ss}(k, R) \delta_{ss'} \delta(k - k')$ , причем в потенциалах  $\hat{U}_{ss}(k, R)$  учтен только ведущий член:  $\hat{U}_{ss}(k, R) = \hat{I} M k^2$ .

В пятой строке приведены результаты наилучших вариационных расчетов<sup>8,9)</sup>.

В проведенных вычислениях использованы следующие значения масс частиц (в единицах массы электрона  $m_e$ ) и значение  $R_y / 24$ :

$$m_u = 206,769, \quad M_p = 1836,152, \quad M_d = 3670,481, \\ M_t = 5496,918, \quad R_y = 13,6058 \text{ эВ}.$$

Из таблиц I-3 легко видеть, что значения  $\varepsilon_{Jv}$ , вычисленные по теории возмущений, весьма близки к значениям, вычисленным по программам ITER и BAAP. Значения  $\varepsilon_{Jv}$ , рассчитанные по программам ITER и BAAP, с большой точностью ( $\sim 10^{-2}$  эВ) совпадают между собой. Это означает, что при вычислениях с этой точностью вкладом потенциалов  $\hat{U}_{ij}(R)$  при  $i \neq j \neq 1$  можно пренебречь. Как правило, результаты расчетов  $\varepsilon_{Jv}$  с граничными условиями (22б) при  $R_m = 60$  и  $R_m = 20$  не различаются между собой с точностью  $\sim 10^{-2}$  эВ, поэтому вычисления по программе ITER выполнены при  $R_m = 20$ . Исключение составляют слабосвязанные состояния ( $J=1, v=1$ ) мезомолекул  $ddm$  и  $dtm$ , для которых значения  $\varepsilon_{Jv}$ , полученные при  $R_m = 20$  и  $R_m = 60$ , заметно различаются (см. таблицу 2).

Вычислив функции  $X_j(R)$  и  $X_s(k, R)$ , например по программе BAAP, можно найти вклад, который вносит в  $\varepsilon_{Jv}$  каждое из состояний  $|j\rangle = |n_1 n_2 m\rangle$  и  $|s\rangle = |k n_2 m\rangle$  задачи двух центров. Это, в свою очередь, позволяет численно исследовать скорость сходимости разложения (10б) и определить минимальное число членов в этом разложении, необходимое для вычисления  $\varepsilon_{Jv}$  с заданной точностью.

Таблица 3

Энергия связи —  $\varepsilon_{Jv}$  (эВ) состояний ( $Jv$ ) мезомолекулы  $t\bar{t}u$ 

	(00)	(01)	(10)	(II)	(20)	(30)	(Jv)
	361,56	81,61	287,65	43,23	170,95	46,81	Двухуровневое приближение
	362,89	83,68	289,19	45,15	172,79	48,90	Теория возмущений
	362,95	83,87	289,15	45,24	172,64	48,69	ITER
	362,95	83,88	289,15	45,24	172,65	48,70	BAAP
	361,4 <sup>a)</sup>	75,2 <sup>b)</sup>	288,72 <sup>b)</sup>	—	—	—	Вариационный расчет

a) Carter B.P., Phys. Rev., 141, 863, 1966.b) Halpern A., Phys. Rev. Lett., 13, p. 660, 1964.

С этой целью представим энергию  $\varepsilon_{Jv}$  состояния ( $Jv$ ) в виде суммы, аналогичной ряду теории возмущений<sup>/3/</sup>

$$\varepsilon_{Jv} = \varepsilon_{Jv}^{(0)} + \varepsilon_{Jv}^{(2)}, \quad (24)$$

где

$$\varepsilon_{Jv}^{(0)} = (2M)^{-1} \int_0^{R_m} dR \chi_1(R) \left\{ -\hat{I} \left( \frac{d^2}{dR^2} - \frac{J(J+1)-2m^2}{R^2} - \frac{2M}{R} \right) + \hat{U}_{11}(R) \right\} \chi_1(R),$$

$$\varepsilon_{Jv}^{(2)} = \varepsilon_{discr}^{(2)} + \varepsilon_{cont}^{(2)},$$

$$\varepsilon_{discr}^{(2)} = \sum_{n_1=0}^{N_i} \sum_{n_2=0}^{N_i} \sum_{m=0}^{k_m} \varepsilon_{Jv}^{(2)} [n_1 n_2 m] = \sum_{j=1}^{N_i} \varepsilon_{Jv}^{(2)} [js], \quad (25)$$

$$\varepsilon_{cont}^{(2)} = \sum_{n_2=0}^{N_i} \sum_{m=0}^{k_m} \int_0^{R_m} dk \varepsilon_{Jv}^{(2)} [kn_2 m] = \sum_{s=1}^{N_i} \int_0^{R_m} dk \varepsilon_{Jv}^{(2)} [ks],$$

$$\varepsilon_{Jv}^{(2)} [js] = (2M)^{-1} \int_0^{R_m} dR \chi_1(R) \hat{U}_{1j}(R) \chi_j(R),$$

$$\varepsilon_{Jv}^{(2)} [ks] = (2M)^{-1} \int_0^{R_m} dR \chi_1(R) \hat{U}_{1s}(k, R) \chi_s(k, R). \quad (25a)$$

При этом функции  $\chi_j(R)$ ,  $\chi_s(k, R)$  нормированы условием

$$\sum_{p=(s,t)} \left\{ \sum_{j=1}^{N_i} \int_0^{R_m} dR \chi_{jp}^2(R) + \sum_{s=1}^{N_i} \int_0^{k_m} dk \int_0^{R_m} dR \chi_{sp}^2(k, R) \right\} = 1, \quad (26)$$

которое аппроксимирует условие нормировки (IIa) в том же смысле, в каком система уравнений (22) аппроксимирует систему (I4). Суммы в правых частях равенств (25a) следует понимать в соответствии с определениями (16), например,

$$\chi_1 \hat{U}_{sj} \chi_j = \chi_{sa} U_{sa,j} \chi_{ja} + \chi_{sa} U_{sa,j} \chi_{je} \chi_{je} + \chi_{se} U_{se,j} \chi_{ja} + \chi_{se} U_{se,j} \chi_{je} \quad (27)$$

и т.д.

Отметим, что величины  $\varepsilon_{Jv}^{(0)}$  и  $\varepsilon_{Jv}^{(2)}$ , вычисленные по формулам (24), (25a), лишь приближенно совпадают с аналогичными величинами, вычисленными по теории возмущений<sup>/3, 7/</sup>, посколь-

Таблица 4

Вклад различных состояний  $|j\rangle = |n_1 n_2 m\rangle$  дискретного спектра задачи двух центров в энергию связи —  $\varepsilon_{J\sigma}$ (эВ) мезомолекул

n	$[n_1 n_2 m]$	ppm		pdμ		ddμ		dtμ	
		(00)	(10)	(00)	(10)	(II)	(II)(Jσ)		
I	[000]	246,947	101,236	215,401	91,141	0,558	-0,645		
2	[100]	1,591	1,114	1,213	0,946	0,310	0,282		
	[010]	1,779	1,639	1,725	1,797	0,409	0,395		
	[001]	-	0,465	-	0,321	0,104	0,067		
3	[200]	0,332	0,229	0,232	0,181	0,059	0,053		
	[110]	0,221	0,138	0,284	0,245	0,048	0,051		
	[020]	0,001	0,003	0,000	0,001	0,008	0,003		
	[101]	-	0,130	-	0,099	0,021	0,015		
	[011]	-	0,000	-	0,000	0,001	0,001		
4	[300]	0,128	0,088	0,088	0,069	0,022	0,019		
	[210]	0,075	0,041	0,106	0,087	0,017	0,018		
	[120]	0,001	0,002	0,000	0,001	0,003	0,002		
$\sum_{n=2}^{\infty}$	$\varepsilon_{discr}^{(2)}$	4,128	3,849	3,648	3,747	1,002	0,906		
$\sum_{n=1}^{\infty}$	$\varepsilon_{discr}$	251,075	105,085	219,049	94,888	1,560	0,261		

Таблица 5

Вклад  $-\varepsilon_{discr}^{(2)}[n_2 m] = -\sum_{n_1} \varepsilon_{J\sigma}^{(2)}[n_1 n_2 m]$  от состояний  $|j\rangle = |n_1 n_2 m\rangle$

$n_2 m$	ppm		pdμ		ddμ		dtμ	
	(00)	(10)	(00)	(10)	(II)	(II)		
[00]	2,051	1,431	1,533	1,196	0,391	0,354		
[10]	2,075	1,818	2,115	2,129	0,474	0,464		
[01]	-	0,595	-	0,420	0,125	0,082		
[20]	0,001	0,005	0,001	0,002	0,011	0,005		
[11]	-	0,000	-	0,000	0,001	0,001		
$\varepsilon_{discr}^{(2)}$	4,127	3,849	3,648	3,747	1,002	0,906		

ку используемые функции  $\chi_j(R)$  и  $\chi_s(k, R)$  отличаются от функций, построенных по теории возмущений, уже во втором порядке по  $(2M)^{-1}$ .

В таблице 4 приведены вклады  $-\varepsilon_{J\sigma}^{(2)}[n_1 n_2 m]$  различных состояний  $|j\rangle = |n_1 n_2 m\rangle$  дискретного спектра задачи двух центров в энергию связи  $-\varepsilon_{J\sigma}$ . Из них видно, что приведенные значения с точностью  $\sim 0,1$  эВ исчерпывают вклад состояний  $|j\rangle$  дискретного спектра.

В таблицах 5 и 6 приведены величины

$$-\varepsilon_{discr}^{(2)}[n_2 m] = -\sum_{n_1} \varepsilon_{J\sigma}^{(2)}[n_1 n_2 m],$$

$$-\varepsilon_{cont}^{(2)}[n_2 m] = -\int_0^{\infty} dk \varepsilon_{J\sigma}^{(2)}[k n_2 m], \quad (28)$$

которые представляют собой вклад состояний  $|j\rangle = |n_1 n_2 m\rangle$  и  $|c\rangle = |k n_2 m\rangle$  дискретного и непрерывного спектров задачи двух центров при фиксированных наборах квантовых чисел  $[n_2 m]$ .

Таблица 6

Вклад  $-\varepsilon_{cont}^{(2)}[n_2 m] = -\int_0^{\infty} dk \varepsilon_{J\sigma}^{(2)}[k n_2 m]$  от состояний  $|c\rangle = |k n_2 m\rangle$

$n_2 m$	ppm		pdμ		ddμ		dtμ	
	(00)	(10)	(00)	(10)	(II)	(II)		
[00]	0,892	0,519	0,831	0,598	0,120	0,117		
[10]	0,407	0,229	1,085	0,834	0,092	0,122		
[01]	-	0,694	-	0,500	0,057	0,046		
[20]	0,172	0,191	0,261	0,301	0,043	0,061		
[11]	-	0,065	-	0,043	0,025	0,014		
[30]	0,017	0,025	0,032	0,045	0,012	0,014		
$\varepsilon_{cont}^{(2)}$	1,488	1,723	2,209	2,321	0,349	0,374		

Таблица 7

Составляющие  $\varepsilon_{\text{J}\nu}^{(2)}$ ,  $\varepsilon_{\text{J}\nu}^{(0)}$  и  $\varepsilon_{\text{J}\nu}^{(2)}[n_1 n_2 m]$  энергии связи  $\varepsilon_{\text{J}\nu}$  от различных состояний  $|j\rangle = |n_1 n_2 m\rangle$  дискретного спектра

$n_1$	$\varepsilon_{\text{J}\nu}^{(2)}(j=1, \nu=1)$			$\varepsilon_{\text{J}\nu}^{(2)}(j=1, \nu=1)$			$\varepsilon_{\text{discr}}^{(2)}[n_2 m]$			
$[n_2 m]$	[0]	[1]	[2]	[3]	$\varepsilon_{\text{discr}}^{(2)}[n_2 m]$	[0]	[1]	[2]	[3]	$\varepsilon_{\text{discr}}^{(2)}[n_2 m]$
[00]	0,558	0,310	0,059	0,022	0,391	-0,645	0,282	0,053	0,019	0,354
[10]	0,409	0,048	0,017		0,474	0,395	0,051	0,018		0,464
[01]	0,104	0,021			0,125	0,067	0,015			0,082
[20]	0,008	0,003			0,011	0,003	0,002			0,005
[11]	0,001				0,001					0,001
$\varepsilon_{\text{J}\nu}^{(2)}[n]$	0,522	0,382	0,076	0,022	1,002	0,466	0,350	0,071	0,019	0,906
					$\varepsilon_{\text{discr}}^{(2)}$					$\varepsilon_{\text{discr}}^{(2)}$

$$\chi) \text{ Значение } \varepsilon_{\text{J}\nu}^{(0)} = \varepsilon_{\text{J}\nu}[000], \quad \varepsilon_{\text{discr}}^{(2)}[n_2 m] = \sum_{n_2} \varepsilon_{\text{discr}}^{(2)}[n_1 n_2 m],$$

$$\varepsilon_{\text{J}\nu}^{(2)}[n_1] = \sum_{n_2, m} \varepsilon_{\text{J}\nu}^{(2)}[n_1 n_2 m],$$

$$\varepsilon_{\text{discr}}^{(2)} = \sum_{n_3} \varepsilon_{\text{J}\nu}^{(2)}[n_3] = \sum_{n_2, m} \varepsilon_{\text{discr}}^{(2)}[n_2 m].$$

На рис. 2 представлены также функции  $\varepsilon_{\text{J}\nu}^{(2)}[k n_2 m]$ , соответствующие уровню ( $j=1, \nu=1$ ) мезомолекулы  $d^2\mu$ . Легко видеть, что существенный вклад в  $\varepsilon_{\text{discr}}^{(2)}$  вносит лишь область значений  $0 \leq k \leq 3$ .

В таблице 7 для состояний ( $j=1, \nu=1$ ) мезомолекул  $d^2\mu$  и  $d^2\mu$  кроме величин  $-\varepsilon_{\text{J}\nu}^{(2)}[n_1 n_2 m]$ ,  $-\varepsilon_{\text{discr}}^{(2)}[n_2 m]$  представлены также величины

$$-\varepsilon_{\text{J}\nu}^{(2)}[n_1] = -\sum_{n_2, m} \varepsilon_{\text{J}\nu}^{(2)}[n_1 n_2 m],$$

$$-\varepsilon_{\text{discr}}^{(2)} = -\sum_{n_1} \varepsilon_{\text{J}\nu}^{(2)}[n_1]. \quad (29)$$

На рис. 3 для состояния ( $j=1, \nu=1$ ) мезомолекулы представлены величины  $-\varepsilon_{\text{J}\nu}^{(2)}[n_1]$ , а также функции

$$-\varepsilon_{\text{J}\nu}^{(2)}(k) = -\sum_{n_2, m} \varepsilon_{\text{J}\nu}^{(2)}[k n_2 m], \quad (30)$$

показывающие вклад состояний  $|j\rangle$  и  $|ks\rangle$  в энергию связи  $-\varepsilon_{\text{J}\nu}(d^2\mu)$ .

В таблице 8 приведены вклады  $-\varepsilon_{\text{J}\nu}^{(2)}[n]$  от замкнутых оболочек  $n = n_1 + n_2 + m + 1$  дискретного спектра задачи двух центров:

$$-\varepsilon_{\text{J}\nu}^{(2)}[n] = -\sum_{n_1, n_2, m} \varepsilon_{\text{J}\nu}^{(2)}[n_1 n_2 m],$$

$$n_1 + n_2 + m + 1 = n, \quad n \geq 2,$$

$$-\varepsilon_{\text{J}\nu}^{(2)}[1] = -\varepsilon_{\text{J}\nu}^{(0)}. \quad (31)$$

В таблице 9 представлены относительные вклады дискретного и непрерывного спектров задачи двух центров в  $\varepsilon_{\text{J}\nu}$ . Легко видеть, что для глубоких уровней определяющий вклад в  $\varepsilon_{\text{J}\nu}$  вносит пары состояний  $|j\rangle = |000g\rangle, |000u\rangle$ , в то время как для слабосвязанных состояний необходимо учитывать вклады  $\varepsilon_{\text{J}\nu}^{(2)}[j]$  и  $\varepsilon_{\text{J}\nu}^{(2)}[ks]$  от возбужденных состояний  $|j\rangle$  и  $|ks\rangle$ .

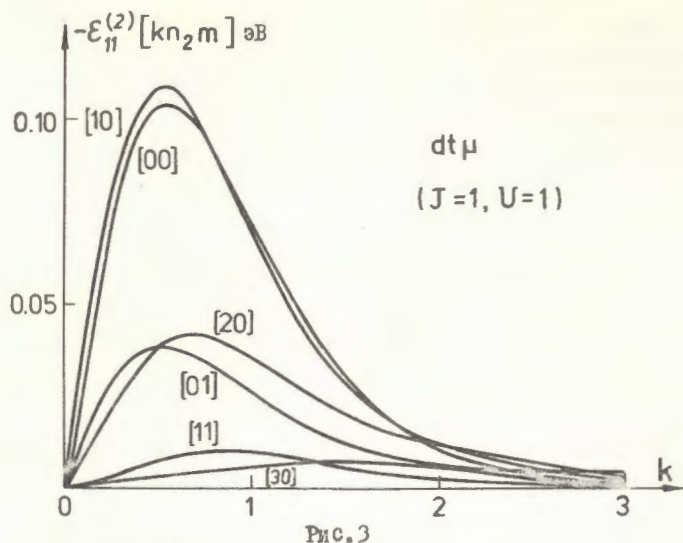


Рис. 3

Таблица 8

$$\text{Вклад } -\mathcal{E}_{\text{discr}}[n] = - \sum_{m=0}^{\infty} \sum_{n_1=0}^{\infty} \sum_{n_2=0}^{\infty} \mathcal{E}_{Jv}[n_1 n_2 m] \\ \text{при } n_1 + n_2 + m + 1 = n$$

от различных оболочек  $n$  дискретного спектра в энергию связи мезомолекул

$n \backslash (Jv)$	ppm		rdm		ddm		dtm	
	(00)	(10)	(00)	(10)	(II)	(II)	(II)	(II)
I	246,947	101,236	215,401	91,141	0,558	-0,645		
2	3,370	3,218	2,938	3,064	0,823	0,744		
3	0,554	0,500	0,516	0,526	0,137	0,123		
4	0,203	0,131	0,194	0,157	0,042	0,039		
$\mathcal{E}_{\text{discr}}^{(0)}$	4,127	3,849	3,648	3,747	1,002	0,906		
$\mathcal{E}_{\text{discr}}^{(2)}$	251,074	105,085	219,049	94,888	1,560	0,261		

Таблица 9

Вклад состояний дискретного и непрерывного спектров задачи двух центров в энергию связи  $-\mathcal{E}_{Jv}$  (эВ) мезомолекул

$(Jv)$	ppm		rdm		ddm		dtm	
	(00)	(10)	(00)	(10)	(II)	(II)	(II)	(II)
$-\mathcal{E}_{sa}$			2528,52		2663,23		27II,27	
$-\mathcal{E}_{Jv}^{(0)}$	246,947	101,236	215,401	91,141	0,558 <sup>x)</sup>	-0,645 <sup>x)</sup>		
$-\mathcal{E}_{\text{discr}}^{(2)}$	4,127	3,849	3,604	3,747	1,002	0,906		
$-\mathcal{E}_{\text{cont}}^{(2)}$	1,488	1,723	2,199	2,321	0,349	0,374		
$-\mathcal{E}_{Jv}^{(2)}$	5,615	5,572	5,803	6,068	1,351	1,280		
$-\mathcal{E}_{Jv}^{(0)} - \mathcal{E}_{Jv}^{(2)}$	252,562	106,808	221,204	97,203	1,909	0,635		
$-\mathcal{E}_{Jv}$	252,954	106,982	221,543	97,399	1,907	0,636		

x) Значения получены по формуле (24). В двухуровневом приближении системы (I4) вместо приведенных значений получим

$$\mathcal{E}_{11}^{(0)}(ddm) = -0,640 \text{ эВ и } \mathcal{E}_{11}^{(0)}(dtm) = 0,474 \text{ эВ.}$$

### Заключение

В данной работе показано, что разложение (I0б) волновой функции  $\Psi_{rt}(r, R)$  по эдиабатическому базису сходится достаточно быстро и может быть с успехом использовано для прецизионного вычисления уровней энергии  $\mu$ -мезомолекул.

В отличие от предыдущих работ авторов /2-3/, в которых для решения задачи (22) используется теория возмущений, результаты данной работы не зависят от величины параметра малости  $(2M)^{-1}$ , естественно возникающего в эдиабатическом методе /4-7/.

Анализ полученных результатов позволяет заключить, что достигнутая в данной работе относительная точность  $\Delta\mathcal{E}/\mathcal{E}$  вычислений уровней энергии  $\mu$ -мезомолекул ( $\sim 10^{-3}$  для глубоких уровней и  $\sim 10^{-2}$  для слабосвязанных уровней) может быть улучшена.

на при расширении системы уравнений (22), а также при более рациональном выборе значений  $R_m$ ,  $k_m$ ,  $\Delta R$  и  $\Delta k$ .

Абсолютная точность вычисления энергии глубоких уровней  $\sim 0,1$  эВ, достигнутая в данной работе, как следует из анализа таблиц 4-8, может быть также улучшена при расширении системы уравнений (22). Абсолютная точность вычисления энергий слабосвязанных состояний мезомолекул несколько выше и составляет  $\sim 0,05$  эВ.

Слабосвязанные состояния ( $J=I$ ,  $v=I$ ) мезомолекул  $d\mu$  и  $d\bar{\mu}$  были впервые обнаружены в работах <sup>[6]</sup> и <sup>[2]</sup> соответственно. Вычисленные в данной работе энергии  $E_{Jv}$  этих состояний при выбранных значениях  $N_i$ ,  $N_s$ ,  $N_k^{(s)}$ ,  $\Delta R$  и  $\Delta k$  равны:

$$E_{II}(d\mu) = -1,91 \text{ эВ}, \quad E_{II}(d\bar{\mu}) = -0,64 \text{ эВ}.$$

Ввиду важности полученного результата для описания процесса  $\mu$ -катализа в смесидейтерия и трития <sup>[25]</sup>, было бы весьма желательно вычислить энергию этих состояний каким-либо другим способом, например: используя различные вариационные методы <sup>[8]</sup>, <sup>[9, 26]</sup>, разлагая решения  $\Psi_{Jv}(r, R)$  по двухцентровым функциям штурмовского типа чисто дискретного спектра <sup>[27]</sup>, решая соответствующие уравнения Фаддеева в координатном пространстве <sup>[28]</sup>, либо же непосредственно решая задачу на собственные значения для функции  $F_m^{\tau\tau}(\xi, \zeta, R)$  в трехмерном пространстве  $(\xi, \zeta, R)$  <sup>[29]</sup>.

Авторы призывают С.С.Герштейну, Ю.Н.Демкову, М.Касчиеву, И.В.Комарову, С.Ю.Славяному и М.П.Файфману за многочисленные обсуждения на различных этапах работы.

#### Л и т е р а т у р а

- I. Быстрицкий В.Н., Джелепов В.П., Ермова З.В., Эминов В.Г., Кепышев В.К., Мухамет-Галеева С.М., Надеждин В.С., Ривкис Л.А., Руденко А.И., Сатаров В.И., Сергеева Н.В., Сомов Л.Н., Столупин В.А., Фильченков В.В., Сообщение ОИИ, ДІ-І2696, Дубна, 1979.

2. Виницкий С.И., Пономарев Л.И., Пузынин И.В., Пузынина Т.П., Сомов Л.Н., Файфман М.П., ЖЭТФ, 1978, 74, с. 849.
3. Виницкий С.И., Пономарев Л.И., ЖЭТФ, 1977, 72, с. 1670.
4. Born M. Göttingenrich, 1951, 1; Виницкий С.И., Пономарев Л.И., ЯФ, 1974, 20, с. 576; Ponomarev L.I., Vinitsky S.I., J. Phys., 1979, B12, p. 5; ОИИ, Р4-І2018, Дубна, 1979.
5. Комаров И.В., Пономарев Л.И., Славянов С.Ю. Сфериодальные и кулоновские сфероидальные функции. М., "Наука", 1976.
6. Пономарев Л.И., Пузынин И.В., Пузынина Т.П., ЖЭТФ, 1973, 65, с. 28; Ponomarev L.I., Puzynin I.V. and Puzynina T.P., J. Comput. Phys., 1973, 13, p. 1.
7. Виницкий С.И., Пономарев Л.И., Пузынин И.В., Пузынина Т.П., Сомов Л.Н. Сообщение ОИИ, Р4-І0336, Дубна, 1976.
8. Carter B.R., Phys. Rev., 1966, 141, p. 863; Carter B.R., Phys. Rev., 1968, 165, p. 139.
9. Halpern A., Phys. Rev. Lett., 1964, 13, p. 660.
10. Пономарев Л.И., Пузынина Т.П. ЖВММФ, 1968, 8, 1256, Препринт ОИИ Р4-5040, Дубна, 1970.
- II. Трускова Н.Ф. Сообщение ОИИ РІІ-І0207, 1976; Сообщение ОИИ РІІ-ІІ218, 1978.
12. Ponomarev L.I., Puzynina T.P., Truskova N.F., J. Phys., 1978, B11, p. 3861.
13. Ponomarev L.I. and Somov L.N., J. Comput. Phys., 1976, 20, p. 183.
14. Ponomarev L.I., Puzynina T.P., Somov L.N., J. Phys., 1977, B10, p. 1335.
15. Пономарев Л.И., Славянов С.Ю., Сомов Л.Н., ОИИ, Р4-І3028, Дубна, 1980.
16. Жидков Е.П., Макаренко Г.И., Пузынин И.В., 1973, ЭЧАЯ, т. 4, с. 127.
17. Виницкий С.И., Мележик В.С., Пузынин И.В., Пузынина Т.П., Сомов Л.Н., Сообщение ОИИ, Р5-І2788, Дубна, 1979.
18. Виницкий С.И., Мележик В.С., Пузынин И.В., Пузынина Т.П., Сомов Л.Н., Сообщение ОИИ, Р5-І2787, Дубна, 1979.
19. Мележик В.С., Пузынин И.В., Пузынина Т.П., Сомов Л.Н. Сообщение ОИИ, Р5-І2789, Дубна, 1979.

20. Мележик В.С., Пузынин И.В., Пузынин Т.П., Сомов Л.Н.  
Сообщение ОИИИ Р5-І2790, Дубна, 1979.
21. Faifman M.P., Ponomarev L.I., Vinitsky S.I.,  
*J. Phys.*, 1976, 9, p. 2255 ;  
Абрамов Д.И., Славянов С.Ю., Сомов Л.Н., ОИИИ, Р4-І2327,  
Дубна, 1979.
22. Самарский А.А. Теория разностных схем. М., Наука, 1977.
23. Канторович Л.В., Крылов В.И. Приближенные методы высшего  
анализа. М., Л., ГИТГЛ, 1952.
24. Cohen E.R., Taylor B.N., *J. Phys. and Chem. Ref. Data*,  
1973, 2, p. 663.
25. Gerstein S.S. and Ponomarev L.I., *Phys. Lett.*, 72B, 80,  
1977.
26. Pekiris C.L. *Phys. Rev.* 1958, 112, p. 1649;  
*Phys. Rev.* 1959, 115, p. 1217.
27. Шерстюк А.И. Оптика и спектроскопия, 1975, 38, с. 1040.
28. Merkuriev S.P., Gignoux C. and Laverne A.,  
*Ann. Phys.*, 1976, 99, 30;  
Меркурьев С.П., Позднеев С.А., ЖФ, 1979, 30, с. 941.
29. Bassett I.M., Lederev B.R.E. and Vorlichek G.C.  
*J. Comput. Phys.*, 1976, 22, p. 74.

Рукопись поступила в издательский отдел  
27 декабря 1979 года.